

ЭЛЕМЕНТЫ КОМПЬЮТЕРНОЙ ОПТИКИ ДЛЯ КОРРЕКЦИИ ОПТИЧЕСКИХ СИСТЕМ

М.А. Голуб, И.Н. Сисакян, В.А. Сойфер

ЭЛЕМЕНТЫ КОМПЬЮТЕРНОЙ ОПТИКИ ДЛЯ КОРРЕКЦИИ АБЕРРАЦИИ ИЗОБРАЖАЮЩИХ СИСТЕМ

Существенное расширение возможностей коррекции сферической и полевых aberrаций объективов дают оптические системы с фазовыми слоями [1, 2]. Однако нанесение фазовых слоев по зонам с требуемым рельефом до последнего времени наталкивалось на значительные сложности, преодолеваемые с появлением современной технологии компьютерной оптики для синтеза корректоров волновых фронтов [3]. Возможности изготовления осесимметричных голографических оптических элементов рассмотрены в работах [4, 5]. В данной работе для, вообще говоря, неосесимметричных корректоров рассматривается влияние дискретизации и квантования фазы корректора на качество формирования изображения. В качестве примера приведены оценки числа Штреля и разрешения синтезированного корректора aberrаций одиночной линзы. Для упрощения формул расчеты проводятся в случае бесконечно удаленного объекта.

1. Пусть некоторый тонкий оптический элемент установлен в области G плоскости $\vec{u}=(u, v)$, а изображение формируется в области D плоскости $\vec{x}=(x, y)$, отстоящей на расстояние f_o .

Введем угловые координаты объекта $\vec{\theta}=(\vartheta_x, \vartheta_y)$,

$$\vartheta_x = \sin \vartheta_1, \quad \vartheta_y = \sin \vartheta_2, \quad (1)$$

где $\pi/2 - \vartheta_1, \pi/2 - \vartheta_2$ - углы луча с осями u и v соответственно. Обозначим $b(\vec{u}, \vec{\theta})$ функцию пропускания тонкого оптического элемента по эйконалу, т.е. $b(\vec{u}, \vec{\theta})$ дает изменение оптической длины пути луча при прохождении точки \vec{u} под углом $\vec{\theta}$.

Геометрический центр или гауссово изображение точки $\vec{\theta}$ бесконечно удаленного предмета находится в точке

$$\vec{x}_\theta = R_\theta \vec{\theta}, \quad (2)$$

где

$$R_\theta = f_0 / \sqrt{1 - \vec{\theta}^2} \quad (3)$$

- радиус опорной сферы Гаусса.

Используя уравнение эйконала [6], нетрудно получить для вектора поперечной аберрации соотношение

$$\vec{n}(\vec{u}, \vec{\theta}) = \vec{u} - \vec{x}_\theta + f_0 \frac{\vec{\theta} + \nabla_{\vec{u}} b(\vec{u}, \vec{\theta})}{\sqrt{1 - [\vec{\theta} + \nabla_{\vec{u}} b(\vec{u}, \vec{\theta})]^2}}, \quad (4)$$

где $\nabla_{\vec{u}} = (\frac{\partial}{\partial u}, \frac{\partial}{\partial v})$.

Волновая аберрация, как известно [6, 7], восстанавливается по формуле

$$B(\vec{u}, \vec{\theta}) = B_0 + \frac{1}{R_\theta} \int_{\vec{u}_0}^{\vec{u}} n(\vec{u}', \vec{\theta}) d\vec{u}', \quad (5)$$

где интеграл берется по любой кривой, проходящей через точки \vec{u}_0 и \vec{u} .

Легко видеть, что в параксиальном приближении, когда $\vec{\theta} \rightarrow 0$, $|\nabla_{\vec{u}} b| \ll 1$, имеем:

$$\vec{n}(\vec{u}, \vec{\theta}) \approx \vec{u} + f_0 \nabla_{\vec{u}} b(\vec{u}, \vec{\theta}), \quad (6)$$

то есть

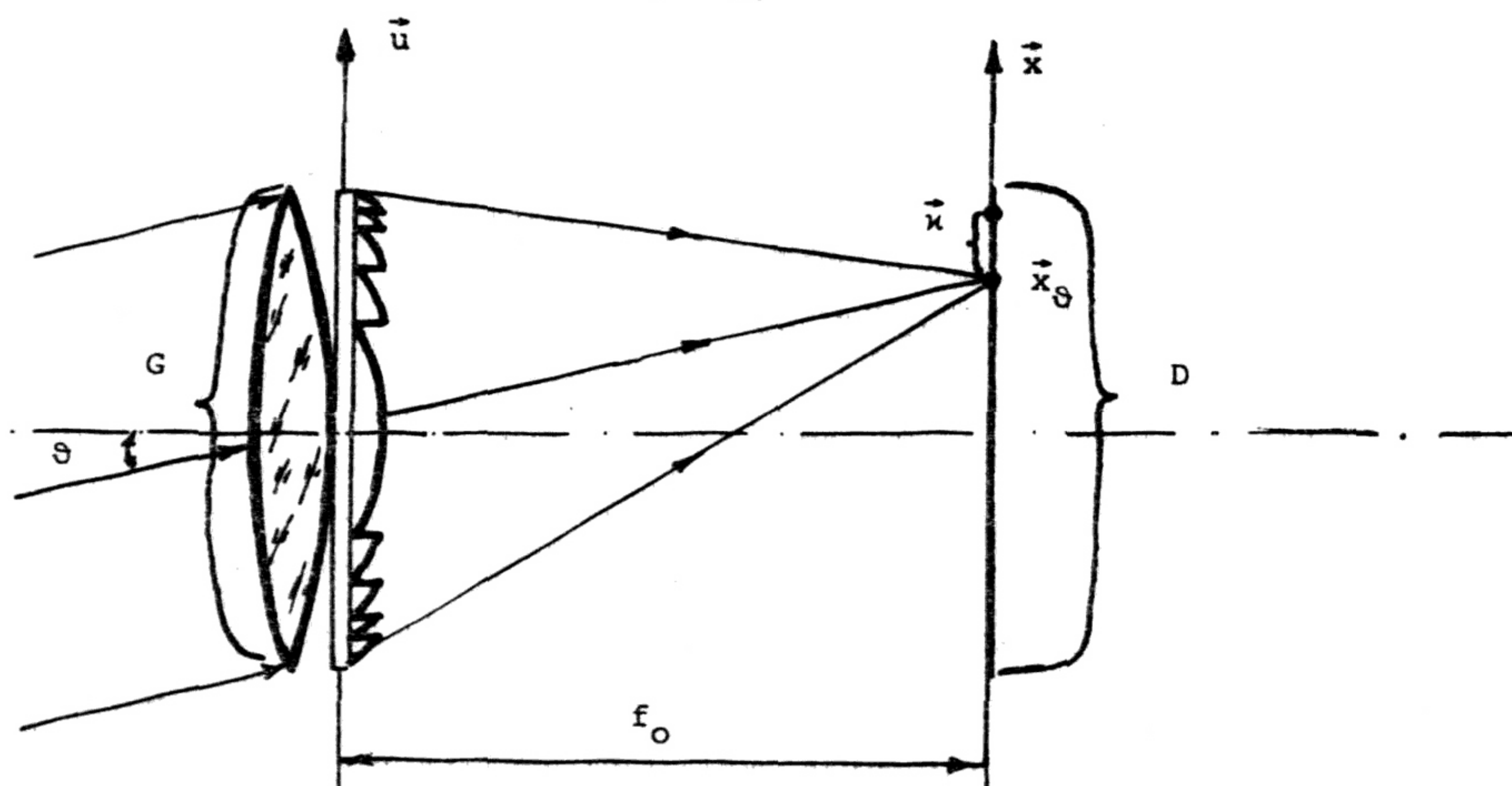
$$B(\vec{u}, \vec{\theta}) = B_0 + \frac{\vec{u}^2}{2f_0} + b(\vec{u}, \vec{\theta}). \quad (7)$$

Таким образом, параксиальная волновая аберрация тонкого элемента совпадает с функцией пропускания $b(\vec{u}, \vec{\theta})$ этого оптического элемента по эйконалу, из которой вычтена функция пропускания $(-\vec{u}^2/2f_0)$ параксиальной линзы.

2. Пусть тонкий оптический элемент состоит из тонкого объектива с фокусным расстоянием f_0 (например, одиночная линза или склейка), состыкованного вплотную с синтезированным корректором (см. рисунок). Если $b_L(\vec{u}, \vec{\theta})$ - волновая аберрация объектива, то для волновой аберрации корректора $B_K(\vec{u}, \vec{\theta})$ получим уравнение

$$B_K(\vec{u}, \vec{\theta}) \approx -b_L(\vec{u}, \vec{\theta}), \quad (8)$$

где аппроксимация понимается обычно как равенство при некотором $\vec{\theta}$ для всех \vec{u} .



В приближении теории aberrаций третьего порядка функция $B_k(\vec{u}, \vec{\vartheta})$ для осесимметричных оптических систем светового диаметра $2a$ может быть записана в виде [6]:

$$B_k(\vec{u}, \vec{\vartheta}) = b_{k0} + \frac{1}{4}B\left(\frac{\vec{u}^2}{a^2}\right)^2 + C\left(\frac{\vec{\vartheta}\vec{u}}{a\vartheta_m}\right)^2 + \frac{1}{2}D\frac{\vec{\vartheta}^2\vec{u}^2}{\vartheta_m^2a^2} - E\frac{\vec{\vartheta}^2(\vec{\vartheta}\vec{u})}{\vartheta_m^3a} - F\frac{(\vec{\vartheta}\vec{u})\vec{u}^2}{\vartheta_m^3a^3}, \quad (9)$$

где B, C, D, E, F – aberrационные коэффициенты, соответствующие сферической aberrации, астигматизму, кривизне поля, дисперсии, коме; $2\vartheta_m$ – максимальный угол поля зрения.

При применении методов компьютерной оптики корректор характеризуется дискретной структурой с $N_1 \times N_2$ отсчетами, разрешением

$$\delta_1 = \frac{2a}{N_1}, \quad \delta_2 = \frac{2a}{N_2} \quad (10)$$

и числом m_0 двоичных разрядов, используемых для кодирования одного отсчета. При этом пропускание корректора по эйконалу имеет $M=2^{m_0}$ градаций. Дискретизация по аргументам и квантование по уровням являются для синтезированных корректоров специфичными принципиально неустранимыми эффектами, определяющими их предельные характеристики.

3. В силу отличия реальной волновой aberrации корректора $\hat{B}_k(\vec{u}, \vec{\vartheta})$ от требуемой согласно уравнению (8) система из объектива и синтезированного корректора является не полностью скорректированной и имеет остаточную aberrацию:

$$\tilde{B}(\vec{u}, \vec{\vartheta}) = \hat{B}_k(\vec{u}, \vec{\vartheta}) - B_k(\vec{u}, \vec{\vartheta}). \quad (11)$$

При этом функция рассеяния точки (ФРТ) меняет свой вид по сравнению с ФРТ идеальной безаберрационной системы. В частности, интенсивность I в центре \vec{x}_0 кружка рассеяния становится меньше в

$$S_w = \frac{I}{I_0} \quad (12)$$

раз интенсивности

$$I_0 = /E_0/^2 \frac{a^4}{\lambda^2 f_0} \quad (13)$$

безаберрационной системы [6], а размер Δ кружка рассеяния по уровню $0 < \vartheta < 1$ становится больше, чем соответствующее значение

$$\Delta_0 = 2E_0 \frac{f_0}{ka}, \quad k = \frac{2\pi}{\lambda} \quad (14)$$

безаберрационной системы (например, $E_{0,1} = 2,73$; $E_{0,8} = 0,94$). При малых остаточных aberrациях, как известно, [6]:

$$S_w = \exp(-k^2 \bar{B}^2) \approx 1 - k^2 \bar{B}^2, \quad (15)$$

где \bar{B}^2 – среднеквадратичная aberrация.

При этом, приравнивая световой поток, проходящий через кружки рассеяния безаберрационной и рассматриваемой систем получаем

$$\Delta = \Delta_0 \frac{1}{\sqrt{S_w}}. \quad (16)$$

В случае параксиального приближения остаточная aberrация является невязкой кусочно-постоянной аппроксимацией и может быть оценена математическими методами [3]

$$\bar{B}^2 = \frac{\lambda^2}{12M^2} + \frac{\delta^2}{12G} \int \nabla_u b_L(\vec{u}, \vec{\vartheta}) /^2 d^2 \vec{u}, \quad (17)$$

где $\delta = \max(\delta_1, \delta_2)$.

Проводя простые, но громоздкие выкладки для случая aberrации третьего порядка, из формул (9), (17) получим

$$\bar{B}^2 = \frac{\lambda^2}{12M^2} + \frac{\delta^2}{6a^2} \left\{ \frac{B^2}{8} + \frac{\vartheta^2}{\vartheta_m^2} \left[\frac{B(C+D)}{3} + \frac{5F^2}{6} \right] + \right. \\ \left. + \frac{\vartheta^4}{\vartheta_m^4} \left(\frac{D^2+2DC-2C^2}{4} + EF \right) + \frac{\vartheta^6}{\vartheta_m^6} \frac{E^2}{6} \right\}. \quad (18)$$

Рассмотрим пример. Корректор aberrаций к тонкой плоско-выпуклой линзе с радиусом кривизны R_1 и показателем преломления n . Используя формулы для aberrационных коэффициентов тонкой линзы, получим

$$\bar{B}^2 = \frac{\lambda^2}{12M^2} + \frac{\delta^2}{6} \left\{ \frac{1}{32(1-v)^4} \frac{a^6}{f_o^2} + \frac{4,5+v}{12(1-v)} \frac{a^4}{f_o^4} \vartheta_m^2 + \right. \\ \left. + \frac{(2+v)^2+1}{16} \frac{a^2}{f_o^2} \vartheta_m^4 \right\}, \quad (19)$$

где $v = \frac{1}{n}$; (20)

$$f_o = \frac{R_1}{n-1}. \quad (21)$$

Формулы (12)–(18) и, в частности, формула (19) позволяют связать параметры дискретизации корректора (δ и M), параметры оптической системы (поле зрения ϑ_m , относительное отверстие $2a/f_o$, фокусное расстояние f_o , λ , n) с такими характеристиками качества оптической системы, как угловое разрешение Δ/f_o и число Штреяля $S_{\text{Ш}}$. Приведенные в табл. 1, 2 расчетные данные позволяют проследить зависимость характеристик оптической системы с корректором от всех параметров и дать рекомендации по выбору разрешения устройства формирования фотоматрицы, а также правильно подобрать количество бинарных масок ($M-I$), используемых при фотолитографическом изготовлении плоского корректора aberrаций. Например, из табл. 1 видно, что для получения углов поля зрения до 30° с угловым разрешением $1,5'$

Таблица 1

δ , мкм	5	10	15	25	35	50
Δ/f_o	$0,92'$	$0,95'$	$0,99'$	$1,17'$	$1,48'$	$2,48'$
$S_{\text{Ш}}$	0,93	0,88	0,79	0,58	0,36	0,13
Δ , мкм	13,1	13,4	14,2	16,7	21,1	35,8
B	$\lambda/24$	$\lambda/17$	$\lambda/13$	$\lambda/8$	$\lambda/6$	$\lambda/4$

($\vartheta_m = 30^\circ$, $2a/f_o = 1:5$, $M=8$, $f_o = 50$ мм).

Таблица 2

M	2	4	6	8
Δ/f_o	$1,38'$	$1,04'$	$0,97'$	$0,95'$
$S_{\text{Ш}}$	0,41	0,75	0,84	0,88
Δ , мкм	19,9	14,9	13,8	13,5
B	$\lambda/7$	$\lambda/12$	$\lambda/15$	$\lambda/17$

($\vartheta_m = 30^\circ$, $2a/f_o = 1:5$, $\delta = 10$ мкм, $f_o = 50$ мм).

при относительном отверстии 1:5 достаточно обеспечить $b=25$ мкм и $M=8$, что соответствует возможностям современной технологии компьютерной оптики. С использованием пакета прикладных программ обработки изображений и цифровой голографии [8] синтезирован плоский корректор aberrаций плосковыпуклой линзы с указанными выше параметрами ($n=1,6$).

Л и т е р а т у р а

1. Слюсарев Г.Г. / ДАН СССР. 1957. Т. 113. С. 780-783.
 2. Міуамото К. JOSA. 1961. Vol. 51, N 1. P. 21-24.
 3. Голуб М.А., Живописцев Е.С., Прохоров А.М., Карпев С.В., Сисакян И.Н., Сойфер В.А. / ДАН СССР. 1980. Т. 251, № 6. С. 1104-1108.
 4. Ган М.А. // Оптика и спектроскопия. 1979. Т. 47, вып. 4. С. 759-763.
 5. Бобров С.Т., Грэйсух Г.И., Прохоров М.А., Туркевич Ю.Г., Шитов В.Г. // Оптика и спектроскопия. 1979. Т. 46, вып. 1. С. 153-157.
 6. Борн М., Вольф Э. Основы оптики. М.: Наука, 1973. 720 с.
 7. Тудоровский А.И. Теория оптических приборов. М.: АН СССР. 1952. Т. 2. 568 с.
 8. Пакет прикладных программ обработки изображений и цифровой голографии. Программы синтеза искусственных оптических элементов / Под ред. В.А. Сойфера. Куйбышев: КуАИ, 1984. 40 с.
-